

РАСПАД Δ -ИЗОБАРЫ В КОВАРИАНТНОЙ МОДЕЛИ КВАРКОВ

М. А. Иванов^{a, 1}, Г. Нурбакова^{b, 2}, Ж. Тюлемисов^{a, б, 3}

^a Объединенный институт ядерных исследований, Дубна

^б Научно-исследовательский институт экспериментальной и теоретической физики,
Алма-Ата, Казахстан

^в Казахский национальный университет им. аль-Фараби, Алма-Ата, Казахстан

Изучен сильный распад Δ -изобары в рамках ковариантной модели кварков. Приведено детальное построение на базе преобразования Фирца релятивистского трехкваркового тока с квантовыми числами $J^P = 3/2^+$. Показано, что данный ток имеет единственную форму. Фитированием свободного параметра модели была вычислена ширина распада. Получено поведение сильного формфактора $G_{\Delta p\pi}(Q^2)$ для пространственноподобных значений квадрата переданного импульса пиона.

We investigate strong decay of the Δ isobar as three-quark system in the covariant quark model. We analytically, based on the Fierz transformation, prove that the three-quark current of baryon with quantum numbers $J^P = 3/2^+$ has only one possible form. The width of decay is calculated by fitting of the model's free parameter. We also numerically compute strong form factor $G_{\Delta p\pi}(Q^2)$ of the Δ isobar, which is determined for the space-like transfer momenta.

PACS: 12.39.Ki; 13.30.Eg

ВВЕДЕНИЕ

В ядерной физике хорошо экспериментально изученным сильным распадом бариона, состоящего лишь из легких u - и d -кварков, является адронный распад Δ -изобары. При наличии канала сильного распада данный канал превалирует над остальными за счет большей вероятности, в случае Δ -изобары 99 % — адронный распад, 1 % — электромагнитный распад. Вследствие этого можно рассматривать распад Δ -изобары как эталонный для частиц со спином 3/2.

Δ -изобара исследовалась в качестве трехкварковой системы в рамках модели конфайнмента кварков [1]. Эта модель основана на двух гипотезах. Во-первых, конфайнмент кварков осуществляется путем усреднения по вакуумным глюонным полям, обеспечивающим конфайнмент любого цветного состояния. Во-вторых, адроны рассматриваются как коллективные бесцветные возбуждения кварк-глюонного взаимодействия.

¹E-mail: ivanovm@theor.jinr.ru

²E-mail: g.nurbakova@gmail.com

³E-mail: zhomart@theor.jinr.ru

Целью данной работы является изучение свойств Δ -изобары, рассматриваемой как связанное состояние из легких u - и d -кварков, в рамках ковариантной модели кварков. Дано детальное построение релятивистского трехкваркового тока с квантовыми числами $J^P = 3/2^+$. Показано, что данный ток имеет единственную форму в отличие от нуклона, имеющего два независимых тока, соответствующих векторному и тензорному взаимодействию [2].

На основе нелокального обобщения трехкваркового тока Δ -изобары, в рамках ковариантной модели кварков с инфракрасным конфайнментом, вычислены массовый оператор, константа связи, а также матричный элемент распада $\Delta \rightarrow N\pi$.

Фит свободного параметра модели позволил получить значения для ширины распада, а также зависимость сильных формфакторов для пространственноподобных значений переданного импульса, которые находятся в удовлетворительном согласии с экспериментом для наблюдаемых величин, а также с теоретическими работами других авторов.

Работа выстроена следующим образом. В разд. 1 мы доказали, что трехкварковый ток Δ -изобары имеет единственную возможную форму. В разд. 2 мы представили явный вид нелокального лагранжиана взаимодействия бариона, записали выражение для массового оператора собственно энергетической диаграммы Δ -изобары, который возникает во втором порядке разложения S -матрицы по теории возмущений. В разд. 3 получили матричный элемент мезон-нуклонного распада Δ -изобары, численно определили ширину данного распада, а также при помощи дипольного фита описали сильный формфактор Δ -изобары.

1. ТРЕХКВАРКОВЫЕ ТОКИ БАРИОНОВ

Общий вид трехкваркового тока Δ -изобары с квантовыми числами $J^P = 3/2^+$ дается следующим выражением

$$(J^\mu)^{k_1 k_2 k_3} = \varepsilon^{a_1 a_2 a_3} \Gamma_1 q_{a_1}^{k_1} [(q_{a_2}^{k_2})^T C \Gamma_2 q_{a_3}^{k_3}], \quad (1)$$

где $a_1, a_2, a_3 = 1, 2, 3$ — цветовые индексы; $C = \gamma^0 \gamma^2$ — матрица зарядового сопряжения; $k_1, k_2, k_3 = 1, 2$; лоренц-индекс μ , соответствующий спину 1, может быть либо в матрице Γ_1 , либо в матрице Γ_2 . Поэтому на данном этапе мы не выписываем его явно.

В случае трехкваркового тока протона с квантовыми числами $J^P = 1/2^+$ имеем

$$J_p = \varepsilon^{a_1 a_2 a_3} \Gamma^A \gamma^5 d^{a_1}(x) [u^{a_2}(x) C \Gamma_A u^{a_3}(x)], \quad (2)$$

для которого существует две возможности выбора нетривиальных трехкварковых токов: $\Gamma^A \otimes \Gamma_A = \gamma^\alpha \otimes \gamma_\alpha$ (векторный ток) и $\Gamma^A \otimes \Gamma_A = (1/2) \sigma^{\alpha\beta} \otimes \sigma_{\alpha\beta}$ (тензорный ток). Явный вид полного кваркового тока для нуклона дается выражением $J_N = x J_N^T + (1-x) J_N^V$, где параметр смешивания $0 \leq x \leq 1$. В случае нейтрона нужно заменить $u \leftrightarrow d$ (см. [2]).

Матрица зарядового сопряжения обладает свойствами

$$C = C^{-1} = C^+ = -C^T. \quad (3)$$

Нам понадобятся следующие ее свойства

$$C \Gamma^T C^{-1} = \begin{cases} \Gamma & \text{для } \Gamma = S, P, A, \\ -\Gamma & \text{для } \Gamma = V, T, \end{cases} \quad (4)$$

где $S \rightarrow I$, $P \rightarrow \gamma_5$, $V \rightarrow \gamma^\mu$, $A \rightarrow \gamma^\mu \gamma_5$, $T \rightarrow \sigma^{\mu\nu}$.

Таблица 1. Возможные квантовые комбинации дикварка

Скалярный дикварк	$(q_{a_2}^{k_2})^T C \gamma_5 q_{a_3}^{k_3} \varepsilon^{a_1 a_2 a_3}$	$J^P = 0^+$
Псевдоскалярный дикварк	$(q_{a_2}^{k_2})^T C q_{a_3}^{k_3} \varepsilon^{a_1 a_2 a_3}$	$J^P = 0^-$
Векторный дикварк	$(q_{a_2}^{k_2})^T C \gamma_5 \gamma^\mu q_{a_3}^{k_3} \varepsilon^{a_1 a_2 a_3}$	$J^P = 1^-$
Аксиально-векторный дикварк	$(q_{a_2}^{k_2})^T C \gamma^\mu q_{a_3}^{k_3} \varepsilon^{a_1 a_2 a_3}$	$J^P = 1^+$
Тензорный дикварк	$(q_{a_2}^{k_2})^T C \gamma_5 \sigma^{\mu\nu} q_{a_3}^{k_3} \varepsilon^{a_1 a_2 a_3}$	$J^P = 1^+$
Псевдотензорный дикварк	$(q_{a_2}^{k_2})^T C \sigma^{\mu\nu} q_{a_3}^{k_3} \varepsilon^{a_1 a_2 a_3}$	$J^P = 1^-$

Двухкварковое цветное состояние $(q_{a_2}^{k_2})^T C \Gamma_2 q_{a_3}^{k_3} \varepsilon^{a_1 a_2 a_3}$ называется дикварком. Его возможные квантовые комбинации без производных приведены в табл. 1.

В табл. 1 использована матрица $\sigma^{\mu\nu} = i/2[\gamma^\mu, \gamma^\nu]$.

Пусть $\Delta^{k_1 k_2 k_3}(x)$ есть мультиплет всех изоспиновых состояний Δ -изобары. Спинор Δ^{k_1, k_2, k_3} симметричен относительно перестановок k_1, k_2, k_3 и удовлетворяет условиям Париты–Швингера: $\Delta_\mu \gamma^\mu = 0$ и $\partial^\mu \gamma_\mu = 0$. Связь элементов мультиплета с физическими состояниями дается соотношениями

$$\Delta^{111} = \Delta^{++}, \quad \Delta^{211} = \frac{1}{\sqrt{3}}\Delta^+, \quad \Delta^{122} = \frac{1}{\sqrt{3}}\Delta^0, \quad \Delta^{222} = \Delta^-. \quad (5)$$

В силу симметрии по произвольной перестановке изоспиновых индексов в спиноре $\Delta^{k_1 k_2 k_3}$ соответствующий трехкварковый ток также должен обладать этим свойством. Это означает, что ток в уравнении (1) должен быть симметричен при перестановке $k_1 \leftrightarrow k_2 \leftrightarrow k_3$. Данное условие накладывает ограничение на выбор матриц Γ_1 и Γ_2 . Рассмотрим вначале перестановку индексов в дикварке. Должно выполняться равенство

$$\varepsilon^{a_1 a_2 a_3} q_{a_2 \alpha_2}^{k_2} (C \Gamma_2)_{\alpha_2 \alpha_3} q_{a_3 \alpha_3}^{k_3} = \varepsilon^{a_1 a_2 a_3} q_{a_2 \alpha_2}^{k_3} (C \Gamma_2)_{\alpha_2 \alpha_3} q_{a_3 \alpha_3}^{k_2}. \quad (6)$$

Переставим местами кварки в правой части равенства, учитывая антисимметричность фермионных полей. Имеем

$$\begin{aligned} \varepsilon^{a_1 a_2 a_3} q_{a_2 \alpha_2}^{k_3} (C \Gamma_2)_{\alpha_2 \alpha_3} q_{a_3 \alpha_3}^{k_2} &= -\varepsilon^{a_1 a_2 a_3} q_{a_3 \alpha_3}^{k_2} (C \Gamma_2)_{\alpha_2 \alpha_3} q_{a_2 \alpha_2}^{k_3} = \\ &= \varepsilon^{a_1 a_2 a_3} q_{a_2 \alpha_3}^{k_2} (C \Gamma_2)_{\alpha_3 \alpha_2}^T q_{a_3 \alpha_2}^{k_3}. \end{aligned}$$

Отсюда видно, что правая часть в уравнении (6) совпадает с левой, если

$$C \Gamma_2 = (C \Gamma_2)^T = \Gamma_2^T C^T = -\Gamma_2^T C, \quad C \Gamma_2^T C^{-1} = -\Gamma_2. \quad (7)$$

Как следует из уравнения (4), Γ_2 может быть либо вектором $\Gamma_2 = \gamma^\mu$, либо тензором $\Gamma_2 = \sigma^{\mu\nu}$. Известно, что четность у Δ -изобары положительная. Рассмотрим случай $\Gamma_2 = \gamma^\mu$, которому соответствует аксиально-векторный дикварк (табл. 1) с положительной четностью, значит $\Gamma_1 = I$. Для случая $\Gamma_2 = \sigma^{\mu\nu}$ следует, что $\Gamma_1 = \gamma_\nu$.

Рассмотрим теперь перестановку индексов k_1 и k_3 . В данном случае должно выполняться равенство

$$\begin{aligned} \varepsilon^{a_1 a_2 a_3} (\Gamma_1)_{\alpha \alpha_1} q_{a_1 \alpha_1}^{k_1} [q_{a_2 \alpha_2}^{k_2} (C \Gamma_2)_{\alpha_2 \alpha_3} q_{a_3 \alpha_3}^{k_3}] &= \\ &= \varepsilon^{a_1 a_2 a_3} (\Gamma_1)_{\alpha \alpha_1} q_{a_1 \alpha_1}^{k_3} [q_{a_2 \alpha_2}^{k_2} (C \Gamma_2)_{\alpha_2 \alpha_3} q_{a_3 \alpha_3}^{k_1}]. \end{aligned} \quad (8)$$

Переставим местами кварки q^{k_3} и q^{k_1} в правой части равенства. Имеем

$$\begin{aligned} -\varepsilon^{a_1 a_2 a_3} (\Gamma_1)_{\alpha \alpha_1} q_{a_3 \alpha_3}^{k_1} [q_{a_2 \alpha_2}^{k_2} (C \Gamma_2)_{\alpha_2 \alpha_3} q_{a_1 \alpha_1}^{k_3}] = \\ = \varepsilon^{a_3 a_2 a_1} (\Gamma_1)_{\alpha \alpha_1} q_{a_3 \alpha_3}^{k_1} [q_{a_2 \alpha_2}^{k_2} C_{\alpha_2 \beta_2} (\Gamma_2)_{\beta_2 \alpha_3} q_{a_1 \alpha_1}^{k_3}]. \end{aligned} \quad (9)$$

Далее воспользуемся тождеством Фирца

$$4(\Gamma_1)_{\alpha \alpha_1} (\Gamma_2)_{\beta_2 \alpha_3} = \sum_D (\Gamma_1 \Gamma^D)_{\alpha \alpha_3} (\Gamma_2 \Gamma^D)_{\beta_2 \alpha_1}, \quad (10)$$

где $\Gamma^D = \{I, \gamma^\mu, \sigma^{\mu\nu} (\mu < \nu), \gamma_5, i\gamma^\mu \gamma_5\}$ есть полный набор базисных матриц Дирака.

Введем обозначения

$$\begin{cases} (O_1)_{\alpha \alpha_1} (O_2)_{\beta_2 \alpha_3} \equiv (\tilde{O}_1) \otimes (\tilde{O}_2), \\ (O_1)_{\alpha \alpha_3} (O_2)_{\beta_2 \alpha_1} \equiv (O_1) \otimes (O_2). \end{cases}$$

У нас имеются две комбинации

$$\Gamma_1 \times \Gamma_2 = I \times \gamma^\mu, \quad (11)$$

$$\Gamma_1 \times \Gamma_2 = \gamma_\nu \times \sigma^{\mu\nu}. \quad (12)$$

Последовательно рассмотрим эти две возможности. Сначала случай, соответствующий уравнению (11). Имеем

$$4\tilde{I} \otimes \tilde{\gamma}^\mu = I \otimes \gamma^\mu + \gamma_\alpha \otimes \gamma^\mu \gamma^\alpha + \frac{1}{2} \sigma_{\alpha\beta} \otimes \gamma^\mu \sigma^{\alpha\beta} + \gamma_5 \otimes \gamma^\mu \gamma_5 - \gamma_\alpha \gamma_5 \otimes \gamma^\mu \gamma^\alpha \gamma_5.$$

Преобразуем правую часть равенства к базису. Нам понадобится формула

$$\gamma_5 \sigma^{\mu\nu} = -\frac{i}{2} \epsilon^{\mu\nu\alpha\beta} \sigma_{\alpha\beta}, \quad (13)$$

где мы используем следующий вид тензора Леви-Чевиты $\epsilon_{0123} = -\epsilon^{0123} = 1$.

После достаточно громоздких преобразований приходим к выражению

$$\begin{aligned} 4\tilde{I} \otimes \tilde{\gamma}^\mu = I \otimes \gamma^\mu + \gamma^\mu \otimes I - i\gamma_\nu \otimes \sigma^{\mu\nu} + i\sigma^{\mu\nu} \otimes \gamma_\nu + i\sigma^{\mu\nu} \gamma_5 \otimes \gamma_\nu \gamma_5 + \\ + \gamma_5 \otimes \gamma^\mu \gamma_5 - \gamma^\mu \gamma_5 \otimes \gamma_5 + i\gamma_\nu \gamma_5 \otimes \sigma^{\mu\nu} \gamma_5. \end{aligned} \quad (14)$$

Аналогичным образом преобразуем уравнение (12). Имеем

$$\begin{aligned} 4\tilde{\gamma}_\nu \otimes \tilde{\sigma}^{\mu\nu} = i(3I \otimes \gamma^\mu - 3\gamma^\mu \otimes I + i\gamma_\nu \otimes \sigma^{\mu\nu} + i\sigma^{\mu\nu} \otimes \gamma_\nu - i\sigma^{\mu\nu} \gamma_5 \otimes \gamma_\nu \gamma_5 + \\ + i\gamma_\nu \gamma_5 \otimes \sigma^{\mu\nu} \gamma_5 - 3\gamma_5 \otimes \gamma^\mu \gamma_5 - 3\gamma^\mu \gamma_5 \otimes \gamma_5). \end{aligned} \quad (15)$$

Используя симметрию дикварка относительно перестановок индексов $k_2 \leftrightarrow k_3$, условие Париты–Швингера $\bar{\Delta}^\mu \gamma_\mu = 0$ и тождество

$$i\gamma_\nu \gamma_5 \otimes \sigma^{\mu\nu} \gamma_5 = -i\gamma_\nu \otimes \sigma^{\mu\nu},$$

окончательно получим

$$\begin{cases} 4\tilde{I} \otimes \tilde{\gamma}^\mu = 2I \otimes \gamma^\mu - 2i\gamma_\nu \otimes \sigma^{\mu\nu}, \\ 4i\tilde{\gamma}_\nu \otimes \tilde{\sigma}^{\mu\nu} = -4I \otimes \gamma^\mu. \end{cases}$$

Легко видеть, что комбинация

$$\Gamma_1 \otimes \Gamma_2 = I \otimes \gamma^\mu - \frac{i}{2} \gamma_\nu \otimes \sigma^{\mu\nu} \quad (16)$$

при преобразовании Фирца переходит сама в себя и тем самым обеспечивает симметрию относительно перестановок $k_1 \leftrightarrow k_3$ в формуле (8). Поэтому трехкварковый ток Δ -изобары уравнения (1) имеет единственную форму вида

$$(J^\mu)^{k_1 k_2 k_3} = \varepsilon^{a_1 a_2 a_3} \left[q_{a_1}^{k_1} \cdot [q_{a_2}^{k_2} C \gamma^\mu q_{a_3}^{k_3}] - \frac{i}{2} \gamma_\nu q_{a_1}^{k_1} \cdot [q_{a_2}^{k_2} C \sigma^{\mu\nu} q_{a_3}^{k_3}] \right]. \quad (17)$$

2. ЭФФЕКТИВНЫЙ ЛАГРАНЖИАН И МАССОВЫЙ ОПЕРАТОР

2.1. Лагранжиан Δ -изобары. Массовый оператор. Константа связи. В ковариантной модели кварков основой является релятивистски-инвариантный лагранжиан, который описывает взаимодействие адронов с составляющими их кварками. При этом мы будем использовать нелокальное обобщение тока Δ -изобары в уравнении (17)

$$\mathcal{L}_\Delta(x, y) = i g_\Delta \bar{\Delta}_{\mu\alpha}^{k_1 k_2 k_3}(x) (J^{\mu\alpha})^{k_1 k_2 k_3}(x) + i g_\Delta (\bar{J}^{\nu\beta})^{k_1 k_2 k_3}(y) \Delta_{\nu\beta}^{k_1 k_2 k_3}(y), \quad (18)$$

где кварковый ток $(J^{\mu\alpha})^{k_1 k_2 k_3}(x)$ имеет вид

$$(J^{\mu\alpha})^{k_1 k_2 k_3}(x) = \iiint dx_1 dx_2 dx_3 \delta\left(x - \sum_{i=1}^3 w_i x_i\right) \Phi_\Delta \left[\sum_{i < j} (x_i - x_j)^2 \right] \times \\ \times (J_{3q}^{\mu\alpha})^{k_1 k_2 k_3}(x_1, x_2, x_3), \quad (19)$$

$$(J_{3q}^{\mu\alpha})^{k_1 k_2 k_3}(x_1, x_2, x_3) = \varepsilon^{a_1 a_2 a_3} \Gamma_{\alpha; \alpha_1, \alpha_2, \alpha_3}^\mu q_{a_1 \alpha_1}^{k_1}(x_1) q_{a_2 \alpha_2}^{k_2}(x_2) q_{a_3 \alpha_3}^{k_3}(x_3),$$

где согласно уравнению (17) матрица Γ^μ записывается в виде $\Gamma_{\alpha; \alpha_1, \alpha_2, \alpha_3}^\mu = (\Gamma_1)_{\alpha \alpha_1} \otimes (\Gamma_2)_{\alpha_2 \alpha_3} = (I)_{\alpha \alpha_1} \otimes (C \gamma^\mu)_{\alpha_2 \alpha_3} - (i/2)(\gamma_\nu)_{\alpha \alpha_1} \otimes (C \sigma^{\mu\nu})_{\alpha_2 \alpha_3}$, Φ_Δ — функция взаимодействия трех конституентных кварков с координатами x_1, x_2, x_3 и массами m_1, m_2, m_3 соответственно. Переменная w_i задается выражением $w_i = m_i / (m_1 + m_2 + m_3)$ так, что $\sum_{i=1}^3 w_i = 1$. Легко видеть, что Φ_Δ симметрична относительно перестановок $x_i \leftrightarrow x_j$.

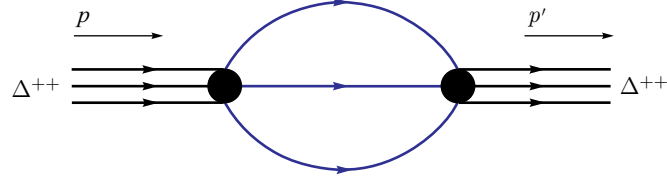
Теперь запишем кварковый ток для $(\bar{J}^{\nu\beta})^{k_1 k_2 k_3}(y)$, который имеет вид

$$(\bar{J}^{\nu\beta})^{k_1 k_2 k_3}(y) = \iiint dy_1 dy_2 dy_3 \delta\left(y - \sum_{i=1}^3 w_i y_i\right) \Phi_\Delta \left[\sum_{i < j} (y_i - y_j)^2 \right] \times \\ \times (\bar{J}_{3q}^{\nu\beta})^{k_1 k_2 k_3}(y_1, y_2, y_3), \quad (20)$$

$$(\bar{J}_{3q}^{\nu\beta})^{k_1 k_2 k_3}(y_1, y_2, y_3) = \varepsilon^{b_1 b_2 b_3} \bar{\Gamma}_{\beta_3, \beta_2, \beta_1; \beta}^\nu \bar{q}_{b_3 \beta_3}^{k_3}(y_3) \bar{q}_{b_2 \beta_2}^{k_2}(y_2) \bar{q}_{b_1 \beta_1}^{k_1}(y_1),$$

где явный вид кваркового тока записывается через $\bar{\Gamma}_{\beta_3, \beta_2, \beta_1; \beta}^\nu = (\bar{\Gamma}_1)_{\beta_1 \beta} \otimes (\bar{\Gamma}_2)_{\beta_3 \beta_2} = (I)_{\beta_1 \beta} \otimes (\gamma^\nu C)_{\beta_3 \beta_2} + (i/2)(\gamma_\mu)_{\beta_1 \beta} \otimes (\sigma^{\nu\mu} C)_{\beta_3 \beta_2}$.

Вычислим массовый оператор (собственно энергетическую диаграмму) Δ -изобары, для этого рассмотрим второй порядок разложения S -матрицы по теории возмущений. Данному разложению соответствует диаграмма Фейнмана на рис. 1.


 Рис. 1. Собственно энергетическая диаграмма Δ -изобары

Соответствующий вклад записывается в виде

$$S_2(x - y) = i \int \int dx dy \bar{\Delta}_{\mu\alpha}^{++}(x) \Sigma_{\alpha\beta}^{\mu\nu}(x - y) \Delta_{\nu\beta}^{++}(y), \quad (21)$$

где, без ограничения общности, мы рассматриваем случай Δ^{++} -изобары с квантовым содержанием $q^{k_1} = q^{k_2} = q^{k_3} = u$. Здесь $\Sigma_{\alpha\beta}^{\mu\nu}(x - y)$ есть массовый оператор.

Запишем явный вид массового оператора в нелокальном случае, который будет соответствовать процессу, изображеному на рис. 1,

$$\begin{aligned} \Sigma_{\alpha\beta}^{\mu\nu}(x - y) = & -i(ig_\Delta)^2 \int dx_1 \cdots dx_3 \delta \left(x - \sum_{i=1}^3 \omega_i x_i \right) \Phi_\Delta \left[\sum_{i < j} (x_i - x_j)^2 \right] \times \\ & \times \int dy_1 \cdots dy_3 \delta \left(y - \sum_{i=1}^3 \omega_i y_i \right) \Phi_\Delta \left[\sum_{i < j} (y_i - y_j)^2 \right] \times \\ & \times \Gamma_{\alpha;\alpha_1,\alpha_2,\alpha_3}^\mu \langle 0 | T \{ J_{3q}^\mu(x) \bar{J}_{3q}^\nu(y) \} | 0 \rangle \bar{\Gamma}_{\beta_3,\beta_2,\beta_1;\beta}^\nu, \end{aligned} \quad (22)$$

где трехкварковые токи даются выражениями в уравнениях (19) и (20).

Вычислим значение $\langle 0 | T \{ J^\mu(x) \bar{J}^\nu(y) \} | 0 \rangle$, которое запишем в явном виде

$$\begin{aligned} \langle 0 | T \{ \dots \} | 0 \rangle = & \varepsilon^{a_1 a_2 a_3} \varepsilon^{b_1 b_2 b_3} \times \\ & \times \langle 0 | T \{ u_{a_1 \alpha_1}(x_1) u_{a_2 \alpha_2}(x_2) u_{a_3 \alpha_3}(x_3) \bar{u}_{b_3 \beta_3}(y_3) \bar{u}_{b_2 \beta_2}(y_2) \bar{u}_{b_1 \beta_1}(y_1) \} | 0 \rangle. \end{aligned} \quad (23)$$

Вакуумное среднее от T -произведений кварковых полей может быть раскрыто с помощью теоремы Вика

$$\begin{aligned} \langle 0 | T \{ \dots \} | 0 \rangle = & \varepsilon^{a_1 a_2 a_3} \varepsilon^{b_1 b_2 b_3} \times \\ & \times \langle 0 | T \{ u_{a_1 \alpha_1}(x_1) u_{a_2 \alpha_2}(x_2) u_{a_3 \alpha_3}(x_3) \bar{u}_{b_3 \beta_3}(y_3) \bar{u}_{b_2 \beta_2}(y_2) \bar{u}_{b_1 \beta_1}(y_1) \} | 0 \rangle = \\ & = \varepsilon^{a_1 a_2 a_3} \varepsilon^{b_1 b_2 b_3} \times \\ & \times \langle 0 | u_{a_1 \alpha_1}(x_1) u_{a_2 \alpha_2}(x_2) u_{a_3 \alpha_3}(x_3) \bar{u}_{b_3 \beta_3}(y_3) \bar{u}_{b_2 \beta_2}(y_2) \bar{u}_{b_1 \beta_1}(y_1) | 0 \rangle + \dots = \\ & = 6 \varepsilon^{a_1 a_2 a_3} \varepsilon^{b_1 b_2 b_3} \delta_{a_1 b_1} \delta_{a_2 b_2} \delta_{a_3 b_3} \times \\ & \times \langle 0 | u_{a_1 \alpha_1}(x_1) u_{a_2 \alpha_2}(x_2) u_{a_3 \alpha_3}(x_3) \bar{u}_{b_3 \beta_3}(y_3) \bar{u}_{b_2 \beta_2}(y_2) \bar{u}_{b_1 \beta_1}(y_1) | 0 \rangle = \\ & = 36 \langle 0 | u_{a_1 \alpha_1}(x_1) u_{a_2 \alpha_2}(x_2) u_{a_3 \alpha_3}(x_3) \bar{u}_{b_3 \beta_3}(y_3) \bar{u}_{b_2 \beta_2}(y_2) \bar{u}_{b_1 \beta_1}(y_1) | 0 \rangle, \end{aligned} \quad (24)$$

где под «...» следует понимать шесть аналогичных членов T -произведения. Используем определения свертки вида

$$u_\alpha(x) \bar{u}_\beta(y) = S_{\alpha\beta}(x - y). \quad (25)$$

Следовательно, $\Sigma_{\alpha\beta}^{\mu\nu}(x - y)$ окончательно примет вид

$$\begin{aligned} \Sigma_{\alpha\beta}^{\mu\nu}(x - y) &= 36ig_\Delta^2 \int dx \int dy \int dx_1 \cdots dx_3 \delta \left(x - \sum_{i=1}^3 \omega_i x_i \right) \Phi_\Delta \left[\sum_{i<j} (x_i - x_j)^2 \right] \times \\ &\quad \times \int dy_1 \cdots dy_3 \delta \left(y - \sum_{i=1}^3 \omega_i y_i \right) \Phi_\Delta \left[\sum_{i<j} (y_i - y_j)^2 \right] \times \\ &\quad \times \sum_{m,n=1}^2 c_{mn} \Gamma_m S(x_1 - y_1) \Gamma_n \operatorname{tr} [\tilde{\Gamma}_n S(y_2 - x_2) \tilde{\Gamma}_m S(x_3 - y_3)], \end{aligned} \quad (26)$$

где следует понимать

$$\begin{cases} c_{11}(\Gamma_1 \times \Gamma_1)(\tilde{\Gamma}_1 \times \tilde{\Gamma}_1) = (I \times I)(\gamma^\nu \times \gamma^\mu), \\ c_{12}(\Gamma_1 \times \Gamma_2)(\tilde{\Gamma}_2 \times \tilde{\Gamma}_1) = \frac{i}{2}(I \times \gamma^\rho)(\sigma^{\nu\rho} \times \gamma^\mu), \\ c_{21}(\Gamma_2 \times \Gamma_1)(\tilde{\Gamma}_1 \times \tilde{\Gamma}_2) = -\frac{i}{2}(\gamma_\delta \times I)(\gamma^\nu \times \sigma^{\mu\delta}), \\ c_{22}(\Gamma_2 \times \Gamma_2)(\tilde{\Gamma}_2 \times \tilde{\Gamma}_2) = \frac{1}{4}(\gamma^\delta \times \gamma^\rho)(\sigma^{\nu\rho} \times \sigma^{\mu\delta}). \end{cases} \quad (27)$$

Преобразование Фурье массового оператора записывается в виде

$$\tilde{\Sigma}_{\alpha\beta}^{\mu\nu}(p, p') = \int dx e^{ip'x} \int dy e^{-ipy} \Sigma_{\alpha\beta}^{\mu\nu}(x - y). \quad (28)$$

Используя координаты Якоби, перейдем от координат (x_1, x_2, x_3) к (x, ρ_1, ρ_2) :

$$\begin{aligned} x_1 &= x + \frac{1}{\sqrt{2}} w_3 \rho_1 - \frac{1}{\sqrt{6}} (2w_2 + w_3) \rho_2, \\ x_2 &= x + \frac{1}{\sqrt{2}} w_3 \rho_1 + \frac{1}{\sqrt{6}} (2w_1 + w_3) \rho_2, \\ x_3 &= x - \frac{1}{\sqrt{2}} (w_1 + w_2) \rho_1 + \frac{1}{\sqrt{6}} (w_1 - w_2) \rho_2. \end{aligned} \quad (29)$$

Будем использовать краткое обозначение вида $x_i = x + \sum_{j=1}^2 w_{ij} \rho_j$. Координаты центра масс удовлетворяют выражениям $x = \sum_{i=1}^3 w_i x_i$, где $\sum_{i=1}^3 w_i = 1$. В терминах координат Якоби получим

$$\sum_{i<j} (x_i - x_j)^2 = \rho_1^2 + \rho_2^2. \quad (30)$$

Отметим, что выбор координат Якоби не является единственным возможным. С данным выбором уравнения (29) можно перейти к следующему виду вершинной функции Φ_Δ :

$$\begin{aligned} \Phi_\Delta \left(\sum_{i < j} (x_i - x_j)^2 \right) &= \int \frac{d^4 p_1}{(2\pi)^4} \int \frac{d^4 p_2}{(2\pi)^4} e^{-ip_1(x_1-x_3)-ip_2(x_2-x_3)} \overline{\Phi}_\Delta(-\omega^2), \\ \overline{\Phi}_\Delta(-\omega^2) &= \int d^4 \rho_1 \int d^4 \rho_2 e^{i\omega\rho} \Phi_\Delta(\rho^2), \\ \widetilde{\Phi}_\Delta[-\omega^2] &= \exp[s_\Delta \omega^2], \quad S(x-y) = \frac{d^4 k}{(2\pi)^4 i} e^{ik(x-y)} S(k), \end{aligned} \quad (31)$$

где мы используем обозначение $\rho^2 = \rho_1^2 + \rho_2^2$, $\omega^2 = \omega_1^2 + \omega_2^2$, $\omega_1 = (1/\sqrt{2})(p_1 + p_2)$, $\omega_2 = (-1/\sqrt{6})(p_1 - p_2)$, $\omega\rho = \omega_1\rho_1 + \omega_2\rho_2$, $s_\Delta \equiv 1/(\Lambda_\Delta^2)$, где Λ_Δ — характеризует размер Δ -изобары.

Так как ω^2 в евклидовом пространстве $\omega^2 = -\omega_E^2$, вершинная функция, представленная в качестве гауссовой функции, обеспечивает сходимость в евклидовой метрике.

В результате преобразований получим

$$\begin{aligned} \widetilde{\Sigma}^{\mu\nu}(p, p') &= 36ig_\Delta^2 \prod_{j=1}^3 \left[\int \frac{d^4 k_j}{(2\pi)^4 i} \right] \int \frac{d\omega_1^x}{(2\pi)^4} \int \frac{d\omega_2^x}{(2\pi)^4} \int \frac{d\omega_1^y}{(2\pi)^4} \int \frac{d\omega_2^y}{(2\pi)^4} \times \\ &\times \widetilde{\Phi}_\Delta[-\omega_x^2] \widetilde{\Phi}_\Delta[-\omega_y^2] \int d^4 x \int d^4 y \int d^4 \rho_1^x \int d^4 \rho_2^x \int d^4 \rho_1^y \int d^4 \rho_2^y \times \\ &\times \sum_{m,n=1}^2 c_{mn} \Gamma_m S(k_1) \Gamma_n \text{tr} [\tilde{\Gamma}_n S(k_2) \tilde{\Gamma}_m S(k_3)] \exp [ip'x - ipy - i\omega_1^x \rho_1^x - i\omega_2^x \rho_2^x - \\ &- i\omega_1^y \rho_1^y - i\omega_2^y \rho_2^y - ik_1(x_1 - y_1) - ik_2(y_2 - x_2) - ik_3(x_3 - y_3)]. \end{aligned} \quad (32)$$

Интегрирование по пространственным координатам приводит к набору δ -функций. После выделения δ -функции, соответствующей закону сохранения энергии-импульса $\Sigma^{\mu\nu}(p, p') = \delta^{(4)}(p - p') \widetilde{\Sigma}^{\mu\nu}(p)$, число интегрирований снижается до двух: k_1 и k_2 . Окончательно получим

$$\begin{aligned} \Sigma^{\mu\nu}(p) &= 36g_\Delta^2 \int \frac{dk_1}{(2\pi)^4 i} \int \frac{dk_2}{(2\pi)^4 i} \widetilde{\Phi}_\Delta^2[-\omega^2] \times \\ &\times \sum_{m,n=1}^2 c_{mn} \Gamma_m S(k_1 + w_1 p) \Gamma_n \text{tr} [\tilde{\Gamma}_n S(k_2 - w_2 p) \tilde{\Gamma}_m S(k_2 - k_1 + w_3 p)], \end{aligned} \quad (33)$$

где $\omega_1 = (k_1 - k_2)/\sqrt{2}$, а $\omega_2 = (k_1 + k_2)/\sqrt{6}$.

Константу связи g_Δ определим из условия связности $Z_\Delta = 0$, предложенного Вайнбергом [3] и Саламом [4] (см. обзор [5]) и в дальнейшем используемого во многих разделах физики частиц. Здесь $Z_\Delta = 0$ есть константа перенормировки волновой функции бариона. Условие связности означает, что константа перенормировки барионного поля Z_Δ , появившаяся в результате взаимодействия с его конституантами, должна быть

положена равной нулю $Z_\Delta = 0$. В случае Δ -изобары данное условие записывается в виде

$$Z_\Delta = 1 - \frac{d}{d\hat{p}} \Sigma_0(\hat{p}) = 0, \quad (34)$$

где $\Sigma_0(\hat{p})$ возникает в разложении $\Sigma^{\mu\nu}$ в виде $g^{\mu\nu}\Sigma_0(\hat{p})$.

Докажем, что тождество $\bar{\Delta}_\nu(p) \frac{d}{d\hat{p}} \Sigma_0(\hat{p}) \Delta_\nu(p) = \bar{\Delta}_\nu(p) \Delta_\nu(p)$ эквивалентно тождеству $\bar{\Delta}_\nu(p) \frac{d}{dp^\alpha} \Sigma_0(\hat{p}) \Delta_\nu(p) = \bar{\Delta}_\nu(p) \gamma^\alpha \Delta_\nu(p)$. Для этого представим $\Sigma_0(\hat{p}) = A(p^2) + \hat{p}B(p^2)$. Тогда уравнение (34), взятое в обкладках Δ -спиноров, записывается в виде

$$\langle \bar{\Delta}_\nu(p) | \frac{d}{d\hat{p}} \Sigma_0(\hat{p}) | \Delta_\nu(p) \rangle = [2mA' + B + 2m^2B'] \bar{\Delta}_\nu(p) \Delta_\nu(p) = \bar{\Delta}_\nu(p) \Delta_\nu(p). \quad (35)$$

Следовательно, $[2mA' + B + 2m^2B'] = 1$.

Аналогичным образом, а также используя тождество $\langle \bar{\Delta}_\nu(p) | p^\alpha | \Delta_\nu(p) \rangle = m \langle \bar{\Delta}_\nu(p) | \gamma^\alpha | \Delta_\nu(p) \rangle$, получим

$$\begin{aligned} \langle \bar{\Delta}_\nu(p) | \frac{d}{dp^\alpha} \Sigma_0(\hat{p}) | \Delta_\nu(p) \rangle &= \langle \bar{\Delta}_\nu(p) | [2mA' + B + 2m^2B'] \gamma^\alpha | \Delta_\nu(p) \rangle = \\ &= \langle \bar{\Delta}_\nu(p) | \gamma^\alpha | \Delta_\nu(p) \rangle. \end{aligned} \quad (36)$$

Данное условие является достаточным для вычисления производной массового оператора.

Следовательно, для определения константы сильного взаимодействия вычислим производную массового оператора, взяв производную по импульсной переменной от выражения, записанного в уравнении (33), а также зная, что общий вид лоренц-структурь $\Sigma^{\mu\nu}(p)$ может быть записан как $\Sigma^{\mu\nu}(p) = g^{\mu\nu}\Sigma_0(\hat{p}) + p^\mu p^\nu\Sigma_1 + p^\mu\gamma^\nu\Sigma_2 + p^\nu\gamma^\mu\Sigma_3 + \gamma^\mu\gamma^\nu\Sigma_4$. Очевидно из условий Рариты–Швингера, что $\frac{d}{dp^\alpha}\Sigma^{\mu\nu} = g^{\mu\nu}\frac{d}{dp^\alpha}\Sigma_0$. В результате получаем выражение вида

$$\begin{aligned} \frac{d}{dp^\alpha}\Sigma^{\mu\nu}(p) &= 36g_\Delta^2 \int \frac{dk_1}{(2\pi)^4 i} \int \frac{dk_2}{(2\pi)^4 i} \tilde{\Phi}_\Delta^2[-\omega^2] \times \\ &\times \left\{ \omega_1 \sum_{m,n=1}^2 c_{mn} \Gamma_m S(k_1 + \omega_1 p) \gamma^\alpha S(k_1 + \omega_1 p) \Gamma_n \text{tr} [\tilde{\Gamma}_n S(k_2 - \omega_2 p) \tilde{\Gamma}_m S(k_2 - k_1 + \omega_3 p)] - \right. \\ &- \omega_2 \sum_{m,n=1}^2 c_{mn} \Gamma_m S(k_1 + \omega_1 p) \Gamma_n \text{tr} [\tilde{\Gamma}_n S(k_2 - \omega_2 p) \gamma^\alpha S(k_2 - \omega_2 p) \tilde{\Gamma}_m S(k_2 - k_1 + \omega_3 p)] + \\ &+ \omega_3 \sum_{m,n=1}^2 c_{mn} \Gamma_m S(k_1 + \omega_1 p) \Gamma_n \text{tr} [\tilde{\Gamma}_n S(k_2 - \omega_2 p) \tilde{\Gamma}_m S(k_2 - k_1 + \omega_3 p) \gamma^\alpha S(k_2 - k_1 + \omega_3 p)] \Big\}, \end{aligned} \quad (37)$$

где мы использовали следующее соотношение:

$$\frac{d}{dp^\alpha} S(k + wp) = w S(k + wp) \gamma^\alpha S(k + wp). \quad (38)$$

При вычислении двухпетлевых интегралов по k_1 и k_2 вначале используем представление Фока–Шингера вида

$$S(p) = (m + \hat{p}) \int_0^\infty d\alpha_1 \exp \{-\alpha_1[m^2 - p^2]\}, \quad (m^2 - p^2) > 0. \quad (39)$$

Для вычисления тензорных интегралов используем метод дифференцирования:

$$k^\mu \exp(kak + 2kr + z_0) = \frac{1}{2} \frac{\partial}{\partial r_\mu} \exp(kak + 2kr + z_0). \quad (40)$$

Получившиеся гауссовые интегралы вычисляются стандартным образом:

$$\int \frac{d^4 k_1}{(2\pi)^4 i} \int \frac{d^4 k_2}{(2\pi)^4 i} \exp \{kak + 2kr + z_0\} = \frac{1}{(4\pi)^4} \frac{1}{|a|^2} \exp(-ra^{-1}r + z_0), \quad (41)$$

где a есть матрица 2×2 с детерминантом $|a|$. Ее матричные элементы зависят от параметров α_i , s_Δ , m_i .

Далее дифференцирование гауссовой экспоненты приводится следующим образом:

$$\frac{\partial}{\partial r_i^\mu} e^{-ra^{-1}r} = e^{-ra^{-1}r} \left[-a_{ij}^{-1} r_j^\mu + \frac{1}{2} \frac{\partial}{\partial r_i^\mu} \right]. \quad (42)$$

Интегрирование по переменным α_i можно упростить с помощью замены

$$\begin{aligned} \int \int \int_0^\infty d\alpha_1 d\alpha_2 d\alpha_3 f(\alpha_1, \alpha_2, \alpha_3) &= \int_0^\infty dt t^2 \int \int \int_0^\infty d\alpha_1 d\alpha_2 d\alpha_3 \times \\ &\times \delta \left(1 - \sum_1^3 \alpha_i \right) f(t\alpha_1, t\alpha_2, t\alpha_3) = \int_0^\infty dt t^2 \int_0^\infty dx_1 dx_2 x_1 f(t\alpha_1, t\alpha_2, t\alpha_3), \end{aligned} \quad (43)$$

где $\alpha_1 = 1 - x_1$, $\alpha_2 = x_1(1 - x_2)$, $\alpha_3 = x_1x_2$. В итоге имеется n интегрирований: по безразмерным параметрам α , пробегающим симплекс, и одно интегрирование по параметру t , имеющему размерность квадрата обратной массы и лежащему в пределах от нуля до бесконечности. Если кинематические переменные, соответствующие данной диаграмме, таковы, что появляется пороговая точка ветвления, то интеграл в уравнении (43) начинает расходиться при $t \rightarrow \infty$. Однако если обрезать интегрирование на верхнем пределе, то это обеспечит отсутствие любых пороговых сингулярностей в данной диаграмме, поскольку полученный интеграл абсолютно сходится для любого набора кинематических переменных. Массовый оператор окончательно примет вид

$$\begin{aligned} \frac{d}{dp^\alpha} \Sigma_0(\hat{p}) &= 36g_\Delta^2 \int_0^{1/\lambda^2} dt t^2 \int_0^1 dx_1 dx_2 \frac{F(t, \alpha_1, \alpha_2, \alpha_3, m_\Delta, m_u, s_\Delta)}{(4\pi)^4 |a|^2} \times \\ &\times \exp(-ra^{-1}r + z_0), \end{aligned}$$

где $\lambda = 0,181$ ГэВ — параметр инфракрасного обрезания; $F(t, \alpha_1, \alpha_2, \alpha_3, m_\Delta, m_u, s_\Delta)$ — функция, полученная в результате вычислений в программном пакете FORM. Трехинтегрирование производится численно с помощью кодов на FORTRAN.

3. РАСПАД $\Delta \rightarrow N\pi$: ШИРИНА И ФОРМФАКТОР

3.1. Матричный элемент распада Δ -изобары. Рассмотрим распад Δ^{++} -изобары на протон и положительно заряженный пион. Данный процесс описывается диаграммой Фейнмана, изображенной на рис. 2.

Матричный элемент, соответствующий данной диаграмме, имеет следующий вид:

$$M(\Delta \rightarrow p\pi) = g_\Delta g_p g_\pi \int dx \int dy \int dz e^{ip'x - ipy + iqz} \times \\ \times \bar{u}_p(p') \langle 0 | T\{ J_p(x) \bar{J}_\Delta^\mu(y) J_\pi(z) \} | 0 \rangle u_\Delta^\mu(p), \quad (44)$$

где трехкварковые токи J_P , \bar{J}_Δ^μ определяются уравнениями (2) и (19) соответственно. Двухкварковый ток пиона имеет вид

$$J_\pi(z) = \int dz_1 dz_2 \delta \left(z - \sum_{i=1}^2 z_i \eta_i \right) \Phi_\pi[(z_1 - z_2)^2] J_{3q}(z_1, z_2), \\ J_{3q}(z_1, z_2) = \bar{d}(z_1) i\gamma^5 u(z_2). \quad (45)$$

Выпишем отдельно T -произведение для данного матричного элемента

$$\langle 0 | T\{ J_P(x_1, x_2, x_3) \bar{J}_\Delta^\mu(y_1, y_2, y_3) J_\pi(z_1, z_2) \} | 0 \rangle = \varepsilon^{a_1 a_2 a_3} \varepsilon^{b_1 b_2 b_3} \times \\ \times T\{ \Gamma^A \gamma^5 d^{a_1}(x_1) [u^{a_2}(x_2) C \Gamma_A u^{a_3}(x_3)] [\bar{u}^{b_3}(y_3) C \Gamma_2^\mu \bar{u}^{b_2}(y_2)] \bar{u}^{b_1}(y_1) \Gamma_1 [\bar{d}(z_1) i\gamma^5 u(z_2)] \}.$$

Перестановки夸克 в дикварках нуклона и Δ -изобары являются симметричными, так как Γ_A , Γ_1 и Γ_2^μ имеют вид тензоров или векторов. На основании определения свертки уравнения (25) и факторизации T -произведения получаем

$$\langle 0 | T\{ \dots \} | 0 \rangle = 12 \Gamma^A \gamma^5 S_d(x_1 - z_1) i\gamma_5 S_u(z_2 - y_1) \Gamma_1 \text{tr} [S_u(y_2 - x_2) \Gamma_A S_u(x_3 - y_3) \Gamma_2^\mu] + \\ + 24 \Gamma^A \gamma^5 S_d(x_1 - z_1) i\gamma_5 S_u(z_2 - y_1) \Gamma_2^\mu S_u(y_2 - x_2) \Gamma_A S_u(x_3 - y_3) \Gamma_1.$$

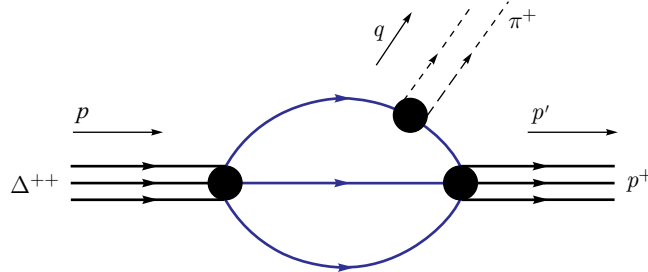


Рис. 2. Распад $\Delta^{++} \rightarrow p\pi^+$

Тогда матричный элемент уравнения (44) записывается как

$$\begin{aligned}
 M(\Delta \rightarrow p\pi) = & 12ig_\Delta g_p g_\pi \int dx \int dy \int dz e^{ip'x - ipy + iqz} \times \\
 & \times \int dx_1 dx_2 dx_3 \delta \left(x - \sum_{i=1}^3 x_i v_i \right) \Phi_p \left[\sum_{i<j} (x_i - x_j)^2 \right] \times \\
 & \times \int dy_1 dy_2 dy_3 \delta \left(y - \sum_{i=1}^3 y_i w_i \right) \Phi_\Delta \left[\sum_{i<j} (y_i - y_j)^2 \right] \times \\
 & \times \int dz_1 dz_2 \delta \left(z - \sum_{i=1}^2 z_i \eta_i \right) \Phi_\pi [(z_1 - z_2)^2] \times \\
 & \times \bar{u}_p(p') \{ \Gamma^A \gamma^5 S_d(x_1 - z_1) \gamma_5 S_u(z_2 - y_1) \Gamma_1 \text{tr} [S_u(y_2 - x_2) \Gamma_A S_u(x_3 - y_3) \Gamma_2^\mu] + \\
 & + 2\Gamma^A \gamma^5 S_d(x_1 - z_1) \gamma_5 S_u(z_2 - y_1) \Gamma_2^\mu S_u(y_2 - x_2) \Gamma_A S_u(x_3 - y_3) \Gamma_1 \} u_\Delta^\mu(p).
 \end{aligned}$$

Используя координаты Якоби уравнения (29) в вершинных функциях нуклона и Δ -изобары, получаем

$$\begin{aligned}
 M(\Delta \rightarrow p\pi) = & \\
 = & 12ig_\Delta g_p g_\pi \prod_{i=1}^4 \int \frac{d^4 k_i}{(2\pi)^4 i} \int \frac{d\omega_1^x}{(2\pi)^4} \frac{d\omega_2^x}{(2\pi)^4} \tilde{\Phi}_p[-\omega_x^2] \int \frac{d\omega_1^y}{(2\pi)^4} \frac{d\omega_2^y}{(2\pi)^4} \tilde{\Phi}_\Delta[-\omega_y^2] \times \\
 & \times \int \frac{dl}{(2\pi)^4} \tilde{\Phi}_\pi[-l^2] \bar{u}_p(p') \{ \Gamma^A \gamma^5 S_d(k_1) \gamma_5 S_u(k_2) \Gamma_1 \text{tr} [S_u(k_3) \Gamma_A S_u(k_4) \Gamma_2^\mu] + \\
 & + 2\Gamma^A \gamma^5 S_d(k_1) \gamma_5 S_u(k_2) \Gamma_2^\mu S_u(k_3) \Gamma_A S_u(k_4) \Gamma_1 \} u_\Delta^\mu(p) \times \\
 & \times \int dx \int dy \int d\rho_1^x \int d\rho_2^x \int d\rho_1^y \int d\rho_2^y \int dz_1 \int dz_2 \times \\
 & \times \exp [ip'x - ipy + iq(\eta_1 z_1 + \eta_2 z_2) - i\omega_1^x \rho_1^x - i\omega_2^x \rho_2^x - i\omega_1^y \rho_1^y - i\omega_2^y \rho_2^y - il(z_1 - z_2)] \times \\
 & \times \exp [-ik_1(x_1 - z_1) - ik_2(z_2 - y_1) - ik_3(y_2 - x_2) - ik_4(z_3 - y_3)].
 \end{aligned}$$

Интегрирование по пространственным координатам дает набор δ -функций, с помощью которых снимается часть интегрирования по импульсным переменным. В результате имеем

$$M(\Delta^{++} \rightarrow p\pi^+) = (2\pi)^4 i \delta(p - p' - q) T(\Delta^{++} \rightarrow p\pi^+), \quad (46)$$

где

$$\begin{aligned}
 T(\Delta^{++} \rightarrow p\pi^+) = & -12g_\Delta g_p g_\pi \int \frac{d^4 k_1}{(2\pi)^4 i} \int \frac{d^4 k_2}{(2\pi)^4 i} \tilde{\Phi}_p[-\omega_x^2] \tilde{\Phi}_\Delta[-\omega_y^2] \tilde{\Phi}_\pi[-(k_1 - \eta_2 q)^2] \times \\
 & \times \bar{u}_p(p') \{ \Gamma^A \gamma^5 S_d(k_1 - q) \gamma_5 S_u(k_1) \Gamma_1 \text{tr} [S_u(k_2) \Gamma_A S_u(k_2 - k_1 + p) \Gamma_2^\mu] + \\
 & + 2\Gamma^A \gamma^5 S_d(k_1 - q) \gamma_5 S_u(k_1) \Gamma_2^\mu S_u(k_2) \Gamma_A S_u(k_2 - k_1 + p) \Gamma_1 \} u_\Delta^\mu(p) = \\
 & = G_{\Delta p\pi} p'_\mu \bar{u}_p(p', \lambda') u_\Delta^\mu(p, \lambda). \quad (47)
 \end{aligned}$$

Здесь введены обозначения

$$\begin{cases} \omega_1^x = \frac{1}{\sqrt{2}}[-k_1 + k_3 + p - v_3 p'], \\ \omega_2^x = \frac{1}{\sqrt{6}}[k_1 + k_3 - p + (2v_2 + v_3)p'], \end{cases} \quad \begin{cases} \omega_1^y = \frac{1}{\sqrt{2}}[k_1 - k_3 - (\omega_1 + \omega_2)p], \\ \omega_2^y = \frac{1}{\sqrt{6}}[-k_1 - k_3 + (\omega_1 - \omega_2)p]. \end{cases}$$

В приложении дано подробное вычисление ширины распада. Окончательно выражение имеет вид

$$\Gamma(\Delta^{++} \rightarrow p\pi^+) = \frac{G_{\Delta p\pi}^2}{24\pi} |\mathbf{q}|^3 \left[\left(1 + \frac{m_N}{m_\Delta}\right)^2 - \frac{m_\pi^2}{m_\Delta^2} \right]. \quad (48)$$

Здесь $|\mathbf{q}|$ есть импульс пиона в системе покоя Δ -изобары.

Для численных расчетов были использованы значения $\Lambda_\pi = 0,87$ ГэВ, $\Lambda_N = 0,36$ ГэВ, полученные в предыдущих работах (см. [2, 6]). При значениях $\Lambda_\Delta = 0,93$ ГэВ и коэффициента смешивания $x = 0$ ширина распада, определенная численно на FORTRAN с помощью библиотеки NAG, дает величину $\Gamma(\Delta^{++} \rightarrow p\pi^+) = 110,6$ МэВ, что хорошо согласуется с экспериментом 110–112 МэВ. Данной величине ширины распада соответствует константа сильного взаимодействия $G_{\Delta p\pi} = 15,2$ ГэВ $^{-1}$, при $q^2 = m_\pi^2$.

3.2. Сильный формфактор. Рассмотрим поведение сильного формфактора $G_{\Delta p\pi}(Q^2)$ в евклидовой области квадрата переданного импульса $Q^2 = -q^2$. Для удобства будем исследовать график функции $G(Q^2) = \frac{G_{\Delta p\pi}(Q^2)}{G_{\Delta p\pi}(0)}$, нормированный на 1 при $Q^2 = 0$. В нашей модели данная функция определяется из уравнения (47). После взятия петлевых интегралов она представляется в виде четырехкратного интеграла, который находится численно с помощью программы, написанной на FORTRAN. Результат численного вы-

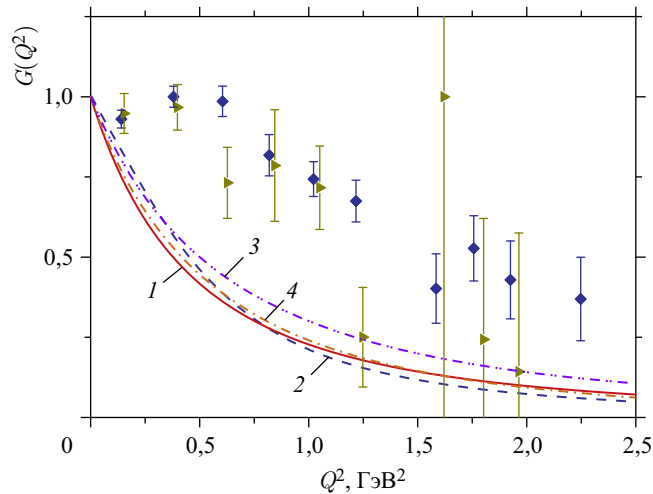


Рис. 3. Поведение сильного формфактора Δ -изобары в рамках различных теоретических подходов: 1 — данная работа; 2 — QCM-модель [1]; 3 — RCQM-модель [7]; 4 — работа [8]; \blacklozenge , \blacktriangleright — результаты вычислений на решетке [9] для $m_\pi = 297$ МэВ, $m_\pi = 330$ МэВ соответственно

Таблица 2. Константы связи $G_{\Delta p\pi}$ (ГэВ^{-1})

Эксперимент	Данная работа	[1]	[7]	[8]	[10]	[11]	[12]	[13]
$15,4 \pm 2,9$	15,2	17,0	11,14	14,98	14,85	17,76	15,2	$13,4 \pm 5,4$

числения удобно аппроксимировать функцией дипольного вида

$$G(Q^2) = \frac{1}{[1 + Q^2/\Lambda_D^2]^2}, \quad (49)$$

где параметр $\Lambda_D = 0,96$ ГэВ. Поведение функции $G(Q^2)$ в интервале $0 \leq Q^2 = -q^2 \leq 2,5$ ГэВ² приведено на рис. 3. Для сравнения приведены результаты других теоретических подходов [1, 7, 8] и результаты вычислений на решетке [9]. Для построения графика 3 на рис. 3 мы использовали параметризацию, данную в работе [7]

$$G(\mathbf{q}^2) = \frac{1}{[1 + \mathbf{q}^2/\lambda_1^2 + \mathbf{q}^4/\lambda_2^4]}, \quad (50)$$

где численные значения параметров $\lambda_1 = 0,594$ ГэВ, $\lambda_2 = 0,998$ ГэВ. Мы использовали связь $\mathbf{q}^2 = q_0^2 + Q^2$, явный вид приведен в приложении, уравнение (П.1). Видно, что поведение нашей кривой почти идеально согласуется с поведением кривой, полученной в работе [7].

В табл. 2 приведены численные значения $G_{\Delta p\pi}$. Отметим, что часто используется константа $f_{\Delta p\pi} = m_\pi G_{\Delta p\pi}$, константы из табл. 2 были вычислены с помощью данного тождества.

ОБСУЖДЕНИЕ РЕЗУЛЬТАТОВ

В данной работе дано подробное построение трехкваркового тока Δ -изобары. Выход сделан с использованием тождеств Фирца. Вычислен матричный элемент $\Delta \rightarrow p\pi$ и ширина распада данного процесса. Единственный свободный параметр Λ_Δ , характеризующий размер Δ -изобары, получен путем фита теоретического значения ширины распада $\Delta \rightarrow p\pi$ к его экспериментальному значению. Соответствующая константа сильного взаимодействия оказалась равной $G_{\Delta p\pi} = 15,2$ ГэВ⁻¹.

Построена зависимость $G(Q^2)$ в евклидовой области квадрата переданного импульса пиона $Q^2 = -q^2$. Проведено сравнение с работами [1, 7–13]. Оказалось, что наши результаты наиболее близки к работе [7].

Благодарности. Авторы выражают признательность W. Plessas за плодотворное обсуждение. Они также благодарят Министерство образования и науки Республики Казахстан за предоставление грантов «ЛП ВУЗа» (2016) и №3091/ГФ4 (госрегистрация №0115RK01041).

ПРИЛОЖЕНИЕ

Согласно закону сохранения импульса и расстановке импульсов видно, что $p = p' + q$, где p, p', q — 4-векторы импульса. Для $p^2 = m_\Delta^2$, $p'^2 = m_N^2$, $q^2 = m_\pi^2$, а для пространственных компонент имеем соотношения вида

$$\begin{cases} \mathbf{p} = \mathbf{p}' + \mathbf{q} = 0, \\ \mathbf{p}' = -\mathbf{q} \Rightarrow |\mathbf{p}'| = |\mathbf{q}|. \end{cases}$$

Распишем уравнения по компонентам и совершим замену переменных, полученных выше, вследствие чего выражения для импульсов примут вид

$$\begin{cases} p^2 = p_0^2 - \mathbf{p}^2 = p_0^2 = m_\Delta^2, \\ p'^2 = p_0'^2 - \mathbf{p}'^2 = p_0'^2 - \mathbf{q}^2 = m_N^2, \\ q^2 = q_0^2 - \mathbf{q}^2 = q_0^2 - \mathbf{q}^2 = m_\pi^2. \end{cases}$$

Выразив энергетическую компоненту 4-вектора импульса, имеем $p'_0 = \sqrt{m_N^2 + |\mathbf{q}^2|}$ для нуклона, а для пиона, соответственно, $q_0 = \sqrt{m_\pi^2 + |\mathbf{q}^2|}$. В свою очередь, для Δ -изобары $p_0 = m_\Delta$.

Вследствие закона сохранения энергии получаем уравнение $p_0 = p'_0 + q$. Осуществляя подстановку полученных выше значений и возводя их в квадрат, можно выразить квадрат пространственной части 4-вектора импульса пиона, который примет вид

$$|\mathbf{q}^2| = \frac{m_\Delta^4 + m_N^4 + m_\pi^4 - 2m_\Delta^2 m_N^2 - 2m_\Delta^2 m_\pi^2 - 2m_N^2 m_\pi^2}{4m_\Delta^2} = \\ = \left[\frac{\lambda^{1/2}(m_\Delta^2, m_N^2, m_\pi^2)}{2m_\Delta} \right]^2. \quad (\text{П.1})$$

Транслятор для спина 1/2:

$$\sum_\lambda u(p, \lambda) \bar{u}(p, \lambda) = \hat{p} + m. \quad (\text{П.2})$$

Транслятор для спина 3/2:

$$\sum_\lambda u(p, \lambda) \bar{u}(p, \lambda) = (\hat{p} + m) \left[-g_{\mu\nu} + \frac{p_\mu p_\nu}{m^2} + \frac{1}{3} \left(g_{\mu\alpha} - \frac{p_\mu p_\alpha}{m^2} \right) \left(g_{\nu\beta} - \frac{p_\nu p_\beta}{m^2} \right) \gamma^\alpha \gamma^\beta \right]. \quad (\text{П.3})$$

Матричный элемент имеет вид

$$M(\Delta^{++} \rightarrow p\pi^+) = G_{\Delta p\pi} p'_\mu \bar{u}_N(p', \lambda') u_\Delta^\mu(p, \lambda).$$

Возведем в квадрат матричный элемент и просуммируем по поляризациям, умножив на 1/4 для получения ширины распада Δ -изобары на нуклон и пион:

$$\frac{1}{4} \sum_{\lambda\lambda'} |M|^2 = \frac{1}{4} G_{\Delta p\pi}^2 p'_\mu p'_\nu \sum_{\lambda\lambda'} [\bar{u}_N(p', \lambda') u_\Delta^\mu(p, \lambda)] [\bar{u}_\Delta^\nu(p, \lambda) u_N(p', \lambda')].$$

Подставим в данное выражение значения трансляторов и факторизуем выражение, в результате получим

$$\frac{1}{4} \sum_{\lambda\lambda'} |M|^2 = \frac{G_{\Delta N\pi}^2}{4} p'_\mu p'_\nu \text{tr} \left[(\hat{p}' + m_N)(\hat{p} + m_\Delta) \left(p'_\mu p'_\nu \bar{g}^{\mu\nu} + \frac{1}{3} p'_\mu \bar{g}^{\mu\alpha} \gamma_\alpha p'_\nu \bar{g}^{\nu\beta} \gamma_\beta \right) \right].$$

Окончательно производя все вычисления, можно удостовериться, что ширина распада будет равна

$$\Gamma(\Delta^{++} \rightarrow p\pi^+) = \frac{G_{\Delta N\pi}^2}{24\pi} |\mathbf{q}|^3 \left[\left(1 + \frac{m_N}{m_\Delta} \right)^2 - \frac{m_\pi^2}{m_\Delta^2} \right].$$

СПИСОК ЛИТЕРАТУРЫ

1. Efimov G. V., Ivanov M. A., Lyubovitskij V. E. Strong Nucleon and Δ Isobar Form Factors in the Quark Confinement Model // Few Body Syst. 1989. V. 6. P. 17–43.
2. Gutsche Th., Ivanov M. A., Körner J. G., Lyubovitskij V. E., Santorelli P. Light Baryons and Their Electromagnetic Interactions in the Covariant Constituent Quark Model // Phys. Rev. D. 2012. V. 86, No. 7; arXiv:1207.7052 [hep-th].
3. Weinberg S. Elementary Particle Theory of Composite Particles // Phys. Rev. 1963. V. 130. P. 776–783.
4. Salam A. Lagrangian Theory of Composite Particles // Nuovo Cim. 1962. V. 25. P. 224–227.
5. Hayashi K., Hirayama M., Muta T., Seto N., Shirafuji T. Compositeness Criteria of Particles in Quantum Field Theory and S-Matrix Theory // Fort. Phys. 1967. V. 15, No. 10. P. 625–660.
6. Ivanov M. A., Körner J. G., Kovalenko S. G., Santorelli P., Saidullaeva G. G. Form Factors for Semileptonic, Nonleptonic and Rare $B(B_s)$ Meson Decays // Phys. Rev. D. 2012. V. 85, No. 6. P. 625; arXiv:1112.3536 [hep-ph].
7. Melde T., Canton L., Plessas W. Structure of Meson–Baryon Interaction Vertices // Phys. Rev. Lett. 2009. V. 102, No. 13. P. 625; arXiv:0811.0277 [nucl-th].
8. Mader V., Eichmann G., Blank M., Krassnigg A. Hadronic Decays of Mesons and Baryons in the Dyson–Schwinger Approach // Phys. Rev. D. 2011. V. 84, No. 3; arXiv:1106.3159 [hep-ph].
9. Alexandrou C., Koutsou G., Negele J. W., Proestos Y., Tsapalis A. Nucleon to Delta Transition Form Factors with $N_F = 2 + 1$ Domain Wall Fermions // Phys. Rev. D. 2011. V. 83, No. 1. P. 31; arXiv:1011.3233 [hep-lat].
10. Sato T., Lee T. S. H. Meson Exchange Model for πN Scattering and Gamma $N \rightarrow \pi N$ Reaction // Phys. Rev. C. 1996. V. 54, No. 5. P. 2600–2684; arXiv:nucl-th/9606009 [nucl-th].
11. Polinder H., Rijken T. A. Soft-Core Meson–Baryon Interactions. II. πN and $K^+ N$ Scattering // Phys. Rev. C. 2005. V. 72, No. 6. P. 065210; arXiv:nucl-th/0505083 [nucl-th].
12. Niskanen J. A. The $\pi N \Delta$ Coupling and the $\Delta(1232)$ Resonance Width // Phys. Lett. B. 1981. V. 107. P. 344; arXiv:1411.5911 [hep-th].
13. Wang Z. Strong Decay $\Delta^{++} \rightarrow p\pi$ with Light-Cone QCD Sum Rules // Eur. Phys. J. C. 2008. V. 57. P. 711–718; arXiv:0707.3736 [hep-th].

Получено 23 апреля 2017 г.